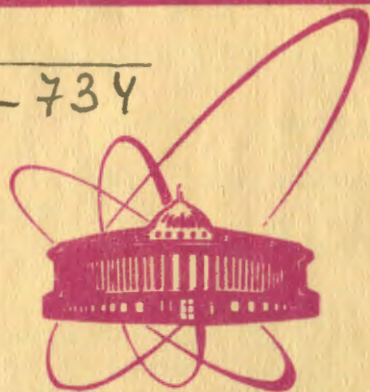


Б-734



объединенный  
институт  
ядерных  
исследований  
дубна

e  
f

3503 / 2-81

13 / VII-81

P4-81-255

Л.Н.Богданова, В.Е.Маркушин, В.С.Мележик

ЯДЕРНЫЕ ШИРИНЫ И СДВИГИ УРОВНЕЙ  
МЕЗОМОЛЕКУЛЫ  $d\mu$

Направлено в ЖЭТФ

1981

## § I. В в е д е н и е

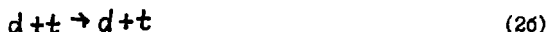
В работе /1/ были вычислены скорости  $\lambda_f$  ядерной реакции синтеза



из различных состояний (  $30'$  ) вращательного и колебательного движений мезомолекулы  $dt\mu$ . Ядерное взаимодействие  $d$  и  $t$  описывалось обобщенным оптическим потенциалом, структура которого была установлена из рассмотрения задачи связанных каналов  $dt$  и  $n{}^4\text{He}$ : антиэрмитова часть имела сепарабельный вид, а эрмитова аппроксимировалась локальным и не зависящим от энергии потенциалом. Со взаимодействием такого вида было получено хорошее описание экспериментальных данных по реакции синтеза /2/



и упругому рассеянию /3/



вблизи порога  $dt$  ( $E_{п.н.} dt < 200$  кэВ).

Ядерные ширины  $\Gamma^{J\sigma}$  уровней мезомолекулы  $dt\mu$ , найденные в результате решения задачи на собственные значения полного гамильтониана системы  $dt\mu$ , совпали с точностью  $\sim 10\%$  со значениями, полученными по известной формуле /4/

$$\Gamma^{J\sigma} = A_0 |\Psi^{J\sigma}(0)|^2 \quad (3)$$

Здесь

$$A_0 = \lim_{v \rightarrow 0} (v \sigma_{in} C_0^{-2}) \quad (4)$$

- константа ядерной реакции (2a),  $v$  - относительная скорость  $d$  и  $t$ ,  $\sigma_{in}$  - сечение реакции (2a),  $C_0^2$  - множитель Гамова:

$$C_0^2 = \frac{2\pi\eta}{e^{2\pi\eta} - 1} \quad (5a)$$

$$\eta = \alpha C/v, \quad (5б)$$

$\Psi^{sv}(\vec{R})$  - волновая функция относительного движения  $d$  и  $t$  в мезомолекуле  $dt\mu$  без учета ядерного взаимодействия  $dt$  \*).

Применимость традиционной формулы (3) в случае системы  $dt\mu$  не была заранее очевидной, так как сечение реакции (2a) при энергии  $E < 200$  кэВ определяется резонансом  ${}^5\text{He}^*(\frac{3}{2}^+)$ , на положение и ширину которого существенно влияет кулоновское взаимодействие  $d$  и  $t$  /7/, в то время как соотношение (3) основано на возможности разделения дальнегодействующего (кулоновского) и короткодействующего (ядерного) взаимодействий /4/.

В настоящей работе установлены условия, при которых соотношение (3) выполняется в случае вблизипорогового резонанса. Основываясь на известном факте о том, что реакция (2a) идет через образование промежуточного ядра  ${}^5\text{He}^*$ , мы предлагаем способ вычисления ядерных ширин и сдвигов уровней мезомолекулы  $dt\mu$ , не использующий конкретный вид ядерного потенциала. Для описания резонансного механизма реакций (2) мы вводим затравочное состояние  ${}^5\text{He}^*$ , которое в результате связи с каналами  $dt$  и  $n^4\text{He}$  приобретает физические значения массы и ширины. Особенность гамильтониана соответствующей задачи связанных каналов:  $dt$  (канал I),  $n^4\text{He}$  (2) и  ${}^5\text{He}^*$  (3), состоит в том, что ядерное взаимодействие входит только в виде связи каналов  $dt - {}^5\text{He}^*$  и  $n^4\text{He} - {}^5\text{He}^*$ . Такой гамильтониан (содержащий также кулоновское отталкивание  $d$  и  $t$ ), как мы покажем, дает для энергетической зависимости сечения реакции (2a) формулу изолированного уровня /8/, которая хорошо воспроизводит экспериментальные данные /2,3/. Этот гамильтониан позволяет без дальнейшей его конкретизации получить уравнение, описывающее влияние ядерного резонанса  ${}^5\text{He}^*(\frac{3}{2}^+)$  на мезомолекулярные уровни  $dt\mu$ , и тем самым решить задачу о ядерных ширинах и сдвигах уровней мезомолекулы.

На основании имеющихся экспериментальных данных по реакциям (2) мы заключаем, что наличие ядерного уровня вблизи порога  $dt$  слабо влияет на спектр мезомолекулы  $dt\mu$  и для вычисления скорости ядерной реакции (I) можно с известной точностью пользоваться формулой (3). Мы исследовали, как мог бы меняться спектр мезомолекулярных состояний при варьировании параметров ядерного резонанса и, в частности, рассмотрели явление перестройки, которое изучалось в работе /1/ для ядерного уровня нулевой ширины.

---

\* ) Ранее /5,6/ по формуле (3) вычислялись ядерные ширины лишь основного состояния ( $J = 0, v = 0$ ) мезомолекулы  $dt\mu$ .

План статьи следующий. В § 2 рассмотрен резонансный механизм реакции (2). Установлению связи ядерных ширин и сдвигов мезомолекулярных уровней системы  $dt\mu$  с параметрами резонанса  ${}^5\text{He}^*(\frac{3}{2}^+)$  посвящен § 3. Параграф 4 содержит результаты численного расчета ядерных ширин и сдвигов мезомолекулярных уровней. В § 5 рассмотрено явление перестройки мезомолекулярного спектра при различных параметрах ядерного состояния. Обсуждению результатов и заключительным замечаниям посвящен § 6.

## § 2. Резонансный механизм реакции $d+t \rightarrow n+{}^4\text{He}$ .

Реакция (2а) хорошо изучена экспериментально в области энергий столкновения  $8 \text{ кэВ} < E < 12 \text{ МэВ}$  (в системе ц.и.  $d + t$ )<sup>/2/</sup>. Её характерной особенностью является околороговой резонанс  ${}^5\text{He}^*(\frac{3}{2}^+)$  в сечении  $\sigma_{in}(E)$  при энергии  $E_R = 64 \text{ кэВ}$  с полушириной  $\Gamma/2 \approx 70 \text{ кэВ}$  и значением сечения в максимуме  $\sigma_{in}(E_R) \approx 5 \text{ б}$ , близким к унитарному пределу. Вся совокупность экспериментальных данных согласуется с предположением, что при энергиях  $E < 200 \text{ кэВ}$  реакция идет из  $S$ -волны ( $L = 0$ ) во входном канале  $dt$  через промежуточное возбужденное состояние ядра  ${}^5\text{He}^*(\frac{3}{2}^+)$ . Вклады остальных состояний ( $L = 0$ ,  $J^{\pi} = \frac{1}{2}^+$  и  $L \geq 1$ ) в этой области энергий составляют  $\approx 1\%$ <sup>/9/</sup>. Известно, что сечение  $\sigma_{in}(E)$  реакции (2а) хорошо воспроизводится формулой изолированного уровня Брейта-Вигнера-Айзенбуда<sup>/7,8/</sup>.

Рассмотрим задачу трех связанных каналов с гамильтонианом

$$\mathcal{H} = \begin{pmatrix} H_1 & 0 & V_1 \\ 0 & H_2 & V_2 \\ V_1^+ & V_2^+ & E_0 |0\rangle\langle 0| \end{pmatrix} \quad (6)$$

Здесь  $H_1$  - кулоновский гамильтониан канала  $dt$  (1),  $H_2$  - свободный гамильтониан канала  $n+{}^4\text{He}$  (2),  $E_0$  и  $|0\rangle$  - энергия и волновая функция состояния  ${}^5\text{He}^*$  (3) без учета связи с каналами 1 и 2. Ядерное взаимодействие в каналах 1 и 2 возникает в результате связи этих каналов с резонансом  ${}^5\text{He}^*$ .

Чтобы найти амплитуду  $dt$  рассеяния, достаточно решить эффективную одноканальную задачу с гамильтонианом

$$\tilde{H}_1 = H_1 + \frac{V_1 |0\rangle\langle 0| V_1^+}{E - E_0 - \langle 0| V_2^+ G_2(E) V_2 |0\rangle} \equiv H_1 + V, \quad (7)$$

в котором ядерное взаимодействие  $dt$  описывается нелокальным и зависящим от энергии обобщенным оптическим потенциалом  $V$ .

( $G_2(E) = (E - H_2)^{-1}$  - свободная функция Грина канала 2.) Амплитуда  $S$  - волнового  $dt$  рассеяния  $f''$  с помощью двухпотенциальной формулы [10] выражается через обобщенный оптический потенциал  $V$  и решения задачи рассеяния с гамильтонианом  $H_1$ :

$$f''(E) = f(E) - 2m_1 f(E) \langle \psi_E | V (1 - G_1 V)^{-1} | \psi_E \rangle \quad (8)$$

Здесь  $f = \frac{\exp(2i\delta) - 1}{2i\kappa}$  - амплитуда рассеяния,  $\delta$  - фаза рассеяния,  $f(E)$  - функция Йоста,  $\psi_E$  - регулярное решение для гамильтониана  $H_1$  в  $S$ -волне,  $m_1 = m_d m_t / (m_d + m_t)$ ,  $\kappa = \sqrt{2m_1 E}$ . Регулярное решение  $|\psi_E\rangle$  удовлетворяет граничному условию:

$$\langle t | \psi_E \rangle |_{z=0} = 1.$$

Матричный элемент в правой части равенства (8) легко вычислить благодаря сепарабельному виду оператора  $V$ . Для элемента  $S$  - матрицы, отвечающего  $dt$  - рассеянию, получаем:

$$S'' = 1 + 2i\kappa f'' = e^{2i\delta} \left( 1 - \frac{4im_1\kappa |f(E)|^2 \langle \psi_E | v_1 | 0 \rangle^2}{E - E_0 - \langle 0 | v_1^+ G_1 v_1 | 0 \rangle - \langle 0 | v_2^+ G_2 v_2 | 0 \rangle} \right) \quad (9)$$

Рассмотрим  $S''$  в физической области канала  $dt$ :  $S'' = S''(E+i0)$ ,  $E > 0$  (порогу канала  $dt$  соответствует  $E = 0$ ). Воспользовавшись спектральным представлением функции Грина  $G_1$ , запишем:

$$\begin{aligned} \langle 0 | v_1^+ G_1(E+i0) v_1 | 0 \rangle &= \\ &= \frac{(2m_1)^{3/2}}{\pi} \int_0^{\infty} \frac{\epsilon^{1/2} |f(\epsilon)|^2 \langle \psi_\epsilon | v_1 | 0 \rangle^2}{E - \epsilon} d\epsilon - 2im_1\kappa |f(E)|^2 \langle \psi_E | v_1 | 0 \rangle^2 \quad (10) \end{aligned}$$

В интересующей нас резонансной области ( $E < 200$  кэВ) величина  $|\langle \psi_E | v_1 | 0 \rangle|^2$  слабо зависит от энергии  $E$ , так как радиус ядерного взаимодействия  $R_N$  мал по сравнению с характерным размером кулоновской задачи и величиной обратного импульса относительного движения  $d$  и  $t$ :

$$R_N \ll 1/dm_1$$

$$R_N \ll 1/\kappa$$

и, следовательно, может быть заменена константой

$$|\langle \psi_E | v_1 | 0 \rangle|^2 \approx |\langle \psi_{E=0} | v_1 | 0 \rangle|^2 = g/2m_1 \quad (11)$$

Также можно пренебречь энергетической зависимостью матричного элемента  $\langle 0 | v_2^+ G_2(E+i0) v_2 | 0 \rangle$ , поскольку расстояние между порогами  $d$  и  $t$  в  ${}^4\text{He}$   $E_{12} = 17,6$  МэВ велико по сравнению с рассматриваемой областью энергий:

$$\langle 0 | v_2^+ G_2(E+i0) v_2 | 0 \rangle = \Delta_2 - i\Gamma_{in}/2 = \text{const.} \quad (12a)$$

Обозначая

$$E_S = E_0 + \Delta_2, \quad (13a)$$

$$\Delta_1(E) = \text{Re} \langle 0 | v_1^+ G_1(E+i0) v_1 | 0 \rangle = \frac{(2m)^{1/2}}{\pi} g \int_0^\infty \frac{\varepsilon^{1/2} |f(\varepsilon)|^2 F(\varepsilon)}{E - \varepsilon} d\varepsilon, \quad (13б)$$

где

$$F(\varepsilon) = \frac{|\langle \psi_\varepsilon | v_1 | 0 \rangle|^2}{|\langle \psi_{\varepsilon=0} | v_1 | 0 \rangle|^2}, \quad (13в)$$

перепишем матричный элемент  $S''$  в следующем виде:

$$S'' = e^{2i\delta} \frac{E - E_S - \Delta_1(E) + i\Gamma_{in}/2 - ikg |f(E)|^2}{E - E_S - \Delta_1(E) + i\Gamma_{in}/2 + ikg |f(E)|^2}. \quad (14)$$

Здесь фаза  $\delta$  и функция Юста  $f(E)$  отвечают кулоновскому  $S$  - волновому рассеянию

$$\delta = \alpha k g \Gamma(1+i\eta) \quad (15a)$$

$$|f(E)|^2 = C_0^2(E). \quad (15б)$$

Сечение реакции (2a) с неполяризованными частицами имеет вид

$$\sigma_{in}(E) = \frac{(2J+1)}{(2S_d+1)(2S_t+1)} \frac{g}{k^2} (1 - |S''|^2) = \frac{4\pi g \Gamma_{in} |f(E)|^{-2}}{3k [(E - E_S - \Delta_1(E))^2 + (\Gamma_{in}/2 + kg |f(E)|^2)^2]}. \quad (16)$$

Здесь  $J = 3/2$  - полный момент резонанса  ${}^3\text{He}^*$ ,  $S_d = 1$  и

$S_t = 1/2$  - спины  $d$  и  $t$ . Таким образом, мы получили формулу изолированного уровня, аналогичную известной из теории  $R$  - матрицы формуле Брейта-Вигнера-Айзенбуда (см., например, <sup>17/</sup>). Положение резонанса определяется энергией затравочного состояния  $E_0$  и сдвигами

$\Delta_1$  и  $\Delta_2$  за счет связи каналов 1-3 и 2-3. В энергетической зависимости упругой ширины  $\Gamma_{el} = 2kg |f(E)|^2$  учтена близость порога и наличие кулоновского отталкивания  $d$  и  $t$ .

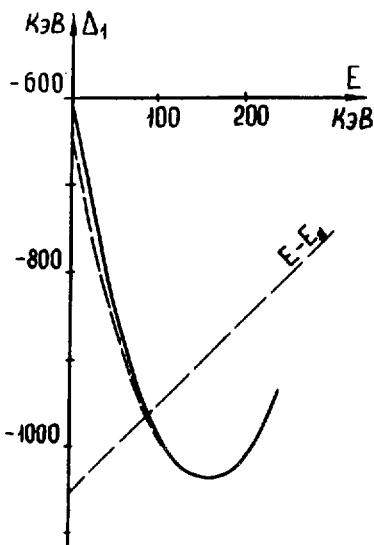


Рис. 1. Энергетическая зависимость сдвига  $\Delta_1(E)$ , обусловленного связью затравочного состояния  ${}^5\text{He}^*$ , с каналом  $dt$  - сплошная кривая. Пунктирная кривая - сдвиг  $\Delta_1^*(E)$ .

При вычислении функции  $\Delta_1(E)$  (рис.1) мы используем то обстоятельство, что область энергии  $E$ , вносящая основной вклад в интеграл (13б), определяется радиусом действия ядерных сил:  $0 < E \lesssim E_0 \sim 1/m_1 R_W^2$ . Другими словами, формфактор  $F(E)$  имеет величину порядка единицы при  $E \lesssim E_0$  и быстро спадает с ростом энергии при  $E > E_0$ . В области  $E \ll E_0$ , результаты не зависят от деталей ядерного взаимодействия, связывающего каналы 1-3 и 2-3, и структуры затравочного состояния  ${}^5\text{He}^*$ , то есть от конкретного вида формфактора. Мы использовали формфактор вида:

$$F(E) = \begin{cases} 1, & E \lesssim E_0 \\ 0, & E > E_0. \end{cases}$$

Параметры  $E_0$ ,  $\Gamma_{in}$  и  $g$  определялись при фиксированном значении  $E_0$  из условия наилучшего согласия теоретического расчета сечений реакции и рассеяния с экспериментом. Мы проанализировали данные по реакции (2а) в интервале энергий  $E = 12 + 200$  кэВ <sup>12/</sup> совместно с данными по упругому рассеянию  $dt$  на угол  $\theta_{cm} = \pi/2$  в интервале энергий  $E = 30 + 200$  кэВ <sup>13/</sup>, предполагая, что ядерное взаимодействие  $d$  и  $t$  существенно только в состоянии с  $l = 0$  и  $J = 3/2$ . Для  $E_0 = 0,5$  Мэв наилучшее согласие с экспериментом достигается при следующих значениях параметров:

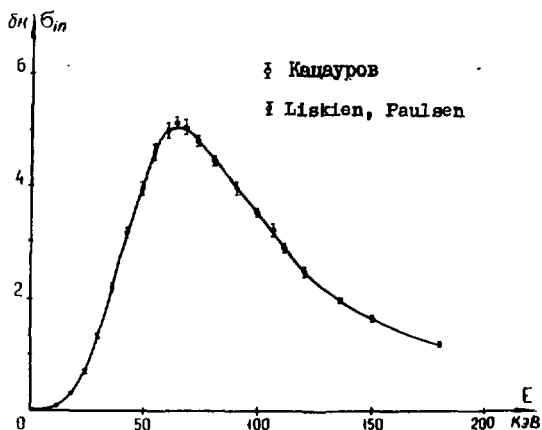


Рис. 2а Сечение  $\sigma_{in}(E)$  реакции  $d+t \rightarrow n+{}^4\text{He}$ . Экспериментальные точки из работ <sup>12/</sup>. Теоретическая кривая вычислена по формуле (16) с параметрами (17).

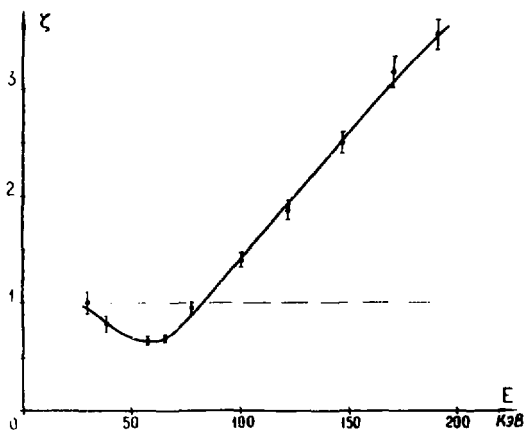


Рис. 2б Энергетическая зависимость  $\zeta(E) = \frac{d\sigma/d\Omega}{d\sigma^e/d\Omega} \Big|_{\theta=\frac{\pi}{2}}$  для рассеяния  $dt$ . Экспериментальные точки из работы <sup>13/</sup>. Теоретическая кривая рассчитана по формуле (18) с параметрами (17).

$$E_s = 1060 \text{ кэВ}$$

$$\Gamma_{in} = 336 \text{ кэВ}$$

$$g = 22 \cdot \alpha C$$

(17)

( $\chi^2 = 10$  для 24 экспериментальных точек и 3 параметров).

Теоретическая зависимость сечения  $\sigma_{in}$  от энергии  $E$  показана на рис. 2а, там же приведены экспериментальные данные из работ [2]. На рис. 2б представлен результат расчета энергетической зависимости отношения  $\xi$  дифференциального сечения  $d\sigma/d\Omega$  рассеяния на угол  $\theta = \pi/2$  к дифференциальному сечению кулоновского рассеяния на тот же угол (экспериментальные данные из работы [3]):

$$\xi = \frac{d\sigma/d\Omega}{d\sigma'/d\Omega} = \frac{1}{3} + \frac{2}{3} \left| e^{-2i\eta \ln \sin \theta/2} - \frac{i e^{-2i\delta}}{2\eta} (1 - S^{11}) \right|^2 \quad (18)$$

На рис. 3а изображена диаграмма Аргана для амплитуды рассеяния  $d\sigma$ . Мы также вычислили амплитуду рассеяния  $n^4\text{He}$  (соответствующая

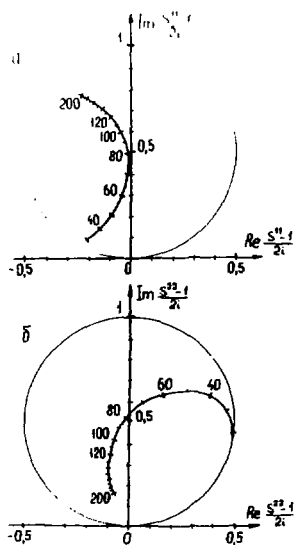


Рис. 3. Диаграммы Аргана для рассеяния  $d\sigma$  к  $S^{11} = (S^{11} - 1)/2i$  (а) и рассеяния  $n^4\text{He}$  к  $f^{22} = (S^{22} - 1)/2i$  (б) в области резонанса  ${}^5\text{He}^*(\frac{3}{2}^+)$ . Числа у кривых обозначают энергию столкновения в системе центра масс (кэВ), отсчитанную от порога  $d\sigma$ .

диаграмма Аргана приведена на рис.3б), и убедились, что наш расчет хорошо согласуется с результатом фазового анализа рассеяния  $n^4\text{He}$  в области резонанса  ${}^5\text{He}^*(\frac{3}{2}^+)$ , проведенный в работе /12/.

Как и ожидалось, обработка экспериментальных данных в резонансной области оказалась не критичной к величине  $\epsilon_0$  и виду фактора  $F(\epsilon)$ , поэтому мы ограничились использованием одного набора параметров (17).

### § 3. Собственные значения гамильтониана системы $dt\mu$ с учетом ядерного взаимодействия

Вычислим собственные значения полного гамильтониана системы  $dt\mu$   $H = H^M + V$ . Здесь  $H^M$  - кулоновский гамильтониан системы  $dt\mu$  (его спектр был найден в работе /13/),  $V$  - ядерное взаимодействие  $dt$ , вид которого мы установили в § 2:

$$\begin{aligned} V &= \lambda(E) |\xi\rangle \langle \xi| \\ \lambda(E) &= (E - E_0 - \langle 0 | V_2^+ G_2(E) V_2 | 0 \rangle)^{-1} \\ |\xi\rangle &= V_1 | 0 \rangle. \end{aligned} \quad (19)$$

Используя сепарабельную форму взаимодействия  $V$ , исключим из задачи на собственные значения гамильтониана  $H$

$$(E - H^M)^{-1} |\xi\rangle \lambda \langle \xi | \tilde{\Psi}^{j\sigma} \rangle = |\tilde{\Psi}^{j\sigma} \rangle \quad (20)$$

известную собственную функцию  $|\tilde{\Psi}^{j\sigma}\rangle$ . Для этого спроектируем уравнение (20) на вектор  $\langle \xi |$ :

$$\langle \xi | (E - H^M)^{-1} |\xi\rangle \lambda \langle \xi | \tilde{\Psi}^{j\sigma} \rangle = \langle \xi | \tilde{\Psi}^{j\sigma} \rangle \quad (21)$$

Для функции Грина  $(E - H^M)^{-1} = G^M(E)$  воспользуемся спектральным представлением

$$G^M(E) = \sum \frac{|\Psi^{j\sigma}\rangle \langle \Psi^{j\sigma}|}{E - E^{j\sigma}} + G_c^M \quad (22)$$

Здесь  $|\Psi^{j\sigma}\rangle$  - собственные функции дискретного спектра гамильтониана  $H^M$ , отвечающие собственным значениям  $E^{j\sigma}$ ,  $G_c^M$  - вклад непрерывного спектра.

Для нахождения матричных элементов  $\langle \xi | \tilde{\Psi}^{j\sigma} \rangle$  и  $\langle \xi | G^M | \xi \rangle$  необходимо знать волновые функции  $\langle \vec{z}, \vec{R} | \Psi^{j\sigma} \rangle$  и функцию Грина  $G_c^M(E, \vec{z}, \vec{R}, \vec{z}', \vec{R}')$  на межядерных расстояниях  $R, R'$  порядка

радиуса действия ядерных сил  $R_N$ , малых по сравнению с характерным размером мезомолекулы (здесь  $\vec{\xi}$  - координата  $\mu$  - мезона относительно центра зарядов ядер). Асимптотика при  $R \rightarrow 0$  волновой функции системы трех частиц с кулоновским взаимодействием построена в работе /14/ в адиабатическом представлении задачи трех тел /15/. При  $R \rightarrow 0$  происходит разделение координат мезона и относительного движения ядер:

$$\Psi^{j\sigma}(\vec{z}, \vec{R}) = \sum_{R \rightarrow 0} \sum_j \phi_j(\vec{\xi}) \sum_{L=|j-l|}^{j+l} \chi_{jL}^{j\sigma}(\vec{R}) \quad (23)$$

Здесь  $\phi_j(\vec{\xi})$  - волновая функция мезоатома в состоянии с квантовыми числами  $j = (Nlm)$  для ядра с массой  $m_d + m_t$  и зарядом  $Z = 2$ . Функции  $\chi_{jL}^{j\sigma}(\vec{R})$  описывают относительное движение  $d$  и  $t$ . Матричный элемент  $\langle \vec{z}, \vec{\xi} | \Psi^{j\sigma} \rangle$  представим в виде:

$$\langle \vec{z}, \vec{\xi} | \Psi^{j\sigma} \rangle = \sum_j \sum_{L=|j-l|}^{j+l} \phi_j(\vec{\xi}) b_{jL}^{j\sigma} \quad (24)$$

где  $b_{jL}^{j\sigma} = \langle \vec{\xi} | \chi_{jL}^{j\sigma} \rangle$ .

В сумму (24) ненулевой вклад дают только члены с  $j = (Nj0)$ ,  $L = 0$ , поскольку оператор  $|\vec{\xi}\rangle\langle\vec{\xi}|$  является проектором на состояние с нулевым орбитальным моментом относительного движения  $d$  и  $t$ . Выпишем коэффициенты  $b_{Nj0,0}^{j\sigma}$ , используя результаты работы /14/:

$$b_{Nj0,0}^{j\sigma} = B_N^{j\sigma} \langle \vec{\xi} | \Psi_N^{j\sigma} \rangle$$

Здесь  $|\Psi_N^{j\sigma}\rangle$  -  $S$  - волновые регулярные решения системы уравнений /13/, описывающей относительное движение ядер в адиабатическом представлении задачи трех тел:  $\langle R | \Psi_N^{j\sigma} \rangle = I$ ,  $B_N^{j\sigma}$  - нормировочный коэффициент, вычисленный в работе /1/ ж).  $R \rightarrow 0$

Матричный элемент  $\langle \vec{z}, \vec{\xi} | \tilde{\Psi}^{j\sigma} \rangle$  запишем в виде

$$\langle \vec{z}, \vec{\xi} | \tilde{\Psi}^{j\sigma} \rangle = \sum_N \tilde{B}_N^{j\sigma} \phi_{Nj0}(\vec{\xi}) \langle \vec{\xi} | \Psi_N^{j\sigma} \rangle \quad (25)$$

где  $\tilde{B}_N^{j\sigma}$  - неизвестные коэффициенты,  $|\Psi_N^{j\sigma}\rangle$  - регулярное решение (20).

Из численного решения задачи на собственные значения кулоновского гамильтониана системы  $dt\mu$  /13/ известно, что  $|B_N^{j\sigma}|^2$  при  $N = j + 1$  примерно на порядок величины превышает сумму квадратов

ж) В работе /1/ для коэффициента  $B_{N=j+1}^{j\sigma}$  было принято обозначение  $B_0^{j\sigma}$ .

модулей всех остальных коэффициентов  $B_N^{j\nu}$ . Другими словами, в мезомолекуле  $dt\mu$  при  $R \rightarrow 0$  мюон с преобладающей вероятностью находится в одном из состояний:  $j_0 = 1S6$  для  $J = 0$ ,  $j_0 = 2p6$  ( $J=1$ ),  $j_0 = 3d6$  ( $J=2$ ). Это свойство сохраняется и при учете ядерного взаимодействия  $dt/1$ , и поэтому мы ограничимся одним слагаемым  $N = J + 1$  в сумме (25). При этом в  $G_N^M$  достаточно учесть вклад указанной выделенной конфигурации  $j_0$ :

$$\langle \xi, R | G_N^M | \xi', R' \rangle = \Phi_{j_0}(\xi) \Phi_{j_0}^*(\xi') \frac{(2m_i^*)^{3/2}}{4\pi^2} \int_0^\infty \frac{\epsilon^{1/2} |f(\epsilon)|^2 \Psi_\epsilon^M(R) \Psi_\epsilon^M(R')}{E - \epsilon} d\epsilon. \quad (26)$$

Здесь  $f^M(\epsilon)$  и  $\Psi_\epsilon^M$  - функция Йоста и регулярное решение для  $S$ -волнового рассеяния  $t\mu + d$ ,  $m_i^*$  - приведенная масса системы  $t\mu + d$ , энергия  $E$  отсчитывается от порога  $t\mu + d$ .

Подставляя (24)-(26) в уравнение (21) и учитывая, что

$$|\langle \xi | \Psi_N^{j\nu} \rangle|^2 \approx |\langle \xi | \Psi_\epsilon^M \rangle|^2 \approx |\langle \xi | \Psi_\epsilon \rangle|^2 = g/2m_i \text{ при } \epsilon \ll \epsilon_0,$$

мы приходим к уравнению на собственные значения:<sup>\*</sup>

$$(E - E^{j\nu})(E - E_S - \Delta_i^M(E) + i\Gamma_n/2) = \frac{g |B^{j\nu}|^2}{2m_i}, \quad (27)$$

где

$$\Delta_i^M(E) = \frac{g(2m_i^*)^{1/2}}{\pi} \int_0^\infty \frac{\epsilon^{1/2} |f^M(\epsilon)|^2 F^M(\epsilon)}{E - \epsilon} d\epsilon + \sum_{\nu \neq \nu'} \frac{|B^{j\nu'}|^2}{E - E^{j\nu'}} \quad (28)$$

$$F^M(\epsilon) = \frac{|\langle \xi | \Psi_\epsilon^M \rangle|^2}{|\langle \xi | \Psi_{\epsilon \rightarrow 0}^M \rangle|^2} \approx F(\epsilon) \quad (29)$$

$$B^{j\nu} = B_{j+1}^{j\nu}. \quad (30)$$

Как показано на рис.1, функция  $\Delta_i^M(E)$  незначительно отличается от функции  $\Delta_i(E)$  в случае  $J=1$  (при  $J>0$  разница уменьшается).

Уравнение (27) описывает влияние ядерного резонанса в системе  $dt$  на уровни мезомолекулы  $dt\mu$ . В случае слабой связи ядерного

<sup>\*</sup> Уравнение на собственные значения можно выписать и для случая произвольного числа членов в суммах (24)-(25): оно представляет собой условие разрешимости возникающей системы линейных однородных уравнений относительно коэффициентов  $B_N^{j\nu}$ .

и мезомолекулярного уровней, когда выполнено условие

$$\frac{2g |B^{j\nu}|^2 / m_1}{(E_S - E^{j\nu} + \Delta_1^N(E^{j\nu}))^2 + \Gamma_{in}^2 / 4} \ll 1, \quad (31)$$

решение уравнения (27), отвечающее мезомолекулярному состоянию, близко к чисто кулоновскому:

$$E = E^{j\nu} + \frac{g |B^{j\nu}|^2 / 2m_1}{E^{j\nu} - E_S - \Delta_1^N(E^{j\nu}) + i\Gamma_{in}/2}. \quad (32)$$

#### § 4. Результаты численного расчета ширины и сдвигов мезомолекулярных уровней

Используя значения резонансных параметров  $E_S$ ,  $\Gamma_{in}$  и  $g$ , определенные в § 2, и коэффициенты  $|B^{j\nu}|^2$ , найденные при численном решении задачи на собственные значения кулоновского гамильтониана  $H^N$  системы  $d+t\mu$ , мы убедились, что условие (31) слабой связи уровней выполняется. В этом случае ядерные ширины  $\Gamma^{j\nu}$  и сдвиги  $\Delta E^{j\nu}$  мезомолекулярных уровней ( $j\nu$ ) определяются формулами

$$\Gamma^{j\nu} = \frac{g \Gamma_{in} |B^{j\nu}|^2 / 2m_1}{(E_S + \Delta_1^N(0))^2 + \Gamma_{in}^2 / 4} \quad (33)$$

$$\Delta E^{j\nu} = - \frac{(E_S + \Delta_1^N(0))}{\Gamma_{in}} \Gamma^{j\nu}. \quad (34)$$

Результаты расчетов ширины и сдвигов уровней мезомолекулы  $d+t\mu$  представлены в таблице. Точность полученных результатов, связанная с неопределенностью извлечения резонансных параметров из эксперимента, составляет 5%. По нашим оценкам, вклад неadiaбатических поправок, которыми мы пренебрегли при выводе уравнения (27), не превышает 10% для состояний с  $J = 1$  и 1% для состояний с  $J = 0$ .

Вычисленные значения ядерных ширины уровней мезомолекулы  $d+t\mu$  относятся к случаю, когда суммарный спин ядер  $d$  и  $t$   $I = 3/2$ . Поскольку во вблизипороговой области вклад  $S$ -волнового состояния  $d+t$  со спином  $I = 1/2$  в сечение реакции (2а) не превышает 1%  $^{19}F$ , скорость ядерной реакции синтеза ( $I$ ) из молекулярных состояний с полным спином ядер  $I = 3/2$  на два порядка превосходит скорость

ТАБЛИЦА

Ядерные ширины  $\Gamma^{J\mathcal{U}}$  и сдвиги  $\Delta E^{J\mathcal{U}}$  уровней ( $J\mathcal{U}$ ) мезомолекулы  $dt\mu$ . Скорость ядерной реакции синтеза  $\lambda^{J\mathcal{U}} = \Gamma^{J\mathcal{U}}/\hbar$  (а - результаты данной работы, б - работы [1/])

$J\mathcal{U}$	(00)	(01)	(10)	(11)	(20)	
$-E^{J\mathcal{U}}$ эВ	319,2	34,9	232,4	0,64	102,5	
$ B^{J\mathcal{U}} ^2$ см <sup>-3</sup>	$7,47 \cdot 10^{26}$	$6,18 \cdot 10^{26}$	$7,07 \cdot 10^{22}$	$2,71 \cdot 10^{22}$	$7,20 \cdot 10^{19}$	
$\Gamma^{J\mathcal{U}}$ эВ	$8,2 \cdot 10^{-4}$	$6,8 \cdot 10^{-4}$	$6,6 \cdot 10^{-8}$	$2,5 \cdot 10^{-8}$	$6,7 \cdot 10^{-11}$	
$\Delta E^{J\mathcal{U}}$ эВ	$-9,6 \cdot 10^{-4}$	$-8,0 \cdot 10^{-4}$	$-9,8 \cdot 10^{-8}$	$-3,0 \cdot 10^{-8}$	$-8,0 \cdot 10^{-11}$	
$\lambda_f^{J\mathcal{U}}$	а	$1,2 \cdot 10^{12}$	$1,0 \cdot 10^{12}$	$1,0 \cdot 10^8$	$3,9 \cdot 10^7$	$1,0 \cdot 10^5$
	б	$1,0 \cdot 10^{12}$	$0,80 \cdot 10^{12}$	$1,1 \cdot 10^8$	$4,2 \cdot 10^7$	$1,1 \cdot 10^5$

реакции (1) из состояний с  $I = 1/2$ . Это обстоятельство следует иметь в виду при расчетах кинетики мезомолекулярных процессов с учетом сверхтонкой структуры уровней  $dt\mu$  молекулы.

Можно ожидать, что для мезомолекулярных состояний с  $J = 1$ , где существенна компонента волновой функции, отвечающая  $p$  - волне относительного движения  $d$  и  $t$  [1/], заметный вклад в ширины уровней будет давать  $p$  - волновое ядерное взаимодействие  $d$  и  $t$ . Учет этого эффекта требует определения  $p$  - волновой амплитуды  $dt$  рассеяния из экспериментальных данных.

Найденные в данной работе значения  $\Gamma^{J\mathcal{U}}$  с точностью  $10 \pm 20\%$  согласуются с результатами работы [1/] и с точностью  $\sim 10\%$  с результатом, полученным по классической формуле (3). Формула, аналогичная (3) и связывающая ширину мезомолекулярного уровня  $dt\mu$  с константой ядерной реакции  $A_0$  (4), получается из (33), если воспользоваться выражением (16) для сечения реакции (2а):

$$\Gamma^{j\nu} = \frac{3}{2} \frac{|B^{j\nu}|^2}{4\mathcal{E}} A_0 \gamma. \quad (35)$$

Здесь

$$\gamma = \frac{(E_s + \Delta_1(0))^2 + \Gamma_{in}^2/4}{(E_s + \Delta_1^M(0))^2 + \Gamma_{in}^2/4} = \begin{cases} 1,16, & j=0 \\ 1,0, & j \geq 1 \end{cases} \quad (36)$$

- коэффициент, характеризующий отклонение от классического факторизационного соотношения (3). Напомним:  $|\Psi^{j\nu}(0)|^2 = |B^{j\nu}|^2/4\mathcal{E}$ . Дополнительный множитель 3/2 возник из-за того, что мы рассматриваем мезомолекулярное состояние с определенным спином ядер  $I = 3/2$ . Найденным в § 2 значениям резонансных параметров отвечает константа реакции

$$A_0 = \frac{4\mathcal{E}g\Gamma_{in}/3m_1}{(E_s + \Delta_1(0))^2 + \Gamma_{in}^2/4} = 1,2 \cdot 10^{-14} \text{ см}^3 \text{ с}^{-1}. \quad (37)$$

Близость коэффициента  $\gamma$  к единице можно пояснить следующим образом. Согласно нашим расчетам, энергетическая зависимость сечения реакции  $t\mu + d \rightarrow n + {}^4\text{He} + \mu^-$  при  $5 \text{ кэВ} < E < 200 \text{ кэВ}$  имеет резонансный характер<sup>\*</sup>). Резонанс в системе  $t\mu + d$  сдвинут относительно резонанса в системе  $dt$  на величину  $\delta E_R = -4 \text{ кэВ}$  (см. также рис.1). Поскольку сдвиг  $\delta E_R$  мал по сравнению с энергией резонанса  $E_R = 64 \text{ кэВ}$  и полушириной  $\Gamma/2 \approx 70 \text{ кэВ}$ , то факторизационное соотношение (3) выполняется с хорошей точностью.

### § 5. Взаимное влияние ядерного и мезомолекулярного уровней

В § 3 было получено уравнение (27), описывающее взаимное влияние молекулярного и ядерного уровней в системе  $dt\mu$ . Представляет интерес исследовать это уравнение при произвольном  $E_s$ , меняющемся от  $-\infty$  до  $+\infty$ . Полученные при этом решения будут описывать спектр системы  $dt\mu$  при различных значениях энергии ядерного резонанса  ${}^5\text{He}^*$  и заданной интенсивности связи с каналами  $dt$  и  $n{}^4\text{He}$  ( $g$  и  $\Gamma_{in}$  фиксированы). Как будет ясно из нижеизложенного, нетривиальные явления происходят лишь в том случае, когда уравнение (27) имеет близкие корни. При этом для функции  $\Delta_1^M(E)$  можно использовать приближение

<sup>\*</sup>) Расчет производился по формуле (16) с заменой  $f(E)$  на  $f^M(E)$  и  $\Delta_1(E)$  на  $\Delta_1^M(E)$ .

$$\Delta_1^N(\epsilon) = \Delta_1^N(0) + d \cdot \epsilon, \quad d = \frac{d}{d\epsilon} \Delta_1^N(\epsilon) \Big|_{\epsilon=0}, \quad (36)$$

и уравнение (27) принимает вид:

$$(\epsilon - E^{j\nu})(\epsilon - \tilde{E}_R + i\tilde{\Gamma}_{in}/2) = \tilde{g} |B^{j\nu}|^2 / 2m_L, \quad (39)$$

где  $\tilde{E}_R = \frac{E_S + \Delta_1^N(0)}{1-d}$ ,  $\tilde{\Gamma}_{in} = \frac{\Gamma_{in}}{1-d}$ ,  $\tilde{g} = \frac{g}{1-d}$ . (40)

При слабой связи уровней ( $2\tilde{g} |B^{j\nu}|^2 / m_L (\tilde{E}_R^2 + \tilde{\Gamma}_{in}^2/4) \ll 1$ ) один из корней уравнения (39) отвечает ядерному резонансу с энергией  $\tilde{E}_R$ :

$$E^{(z)} = \tilde{E}_R - i\tilde{\Gamma}_{in}/2 + \frac{\tilde{g} |B^{j\nu}|^2 / 2m_L}{\tilde{E}_R - E^{j\nu} - i\tilde{\Gamma}_{in}/2}. \quad (41)$$

Другое решение соответствует мезомолекулярному уровню:

$$E^{(m)} = E^{j\nu} + \frac{\tilde{g} |B^{j\nu}|^2 / 2m_L}{E^{j\nu} - \tilde{E}_R + i\tilde{\Gamma}_{in}/2}. \quad (42)$$

В общем случае для корней уравнения (39)

$$E^{(\pm)} = \frac{1}{2} \left\{ E^{j\nu} + \tilde{E}_R - i\tilde{\Gamma}_{in}/2 \pm \left[ (E^{j\nu} - \tilde{E}_R + i\tilde{\Gamma}_{in}/2)^2 + 2\tilde{g} |B^{j\nu}|^2 / m_L \right]^{1/2} \right\} \quad (43)$$

возможны три режима поведения при изменении  $\tilde{E}_R$  в зависимости от величины  $\beta = 8\tilde{g} |B^{j\nu}|^2 / m_L \tilde{\Gamma}_{in}^2$ .

1. Если  $\beta > 1$ , то в пределе  $\tilde{E}_R \rightarrow \pm \infty$  решения  $E^{(\pm)}$  имеют следующий вид:

$$E^{(+)} \rightarrow \begin{cases} E^{(m)} & \tilde{E}_R \rightarrow +\infty \\ E^{(z)} & \tilde{E}_R \rightarrow -\infty \end{cases}$$

$$E^{(-)} \rightarrow \begin{cases} E^{(z)} & \tilde{E}_R \rightarrow +\infty \\ E^{(m)} & \tilde{E}_R \rightarrow -\infty. \end{cases}$$

Решение  $E^{(-)}$ , соответствовавшее при  $\tilde{E}_R \rightarrow +\infty$  ядерному уровню  $E^{(z)}$ , с уменьшением  $\tilde{E}_R$  приближается в комплексной плоскости

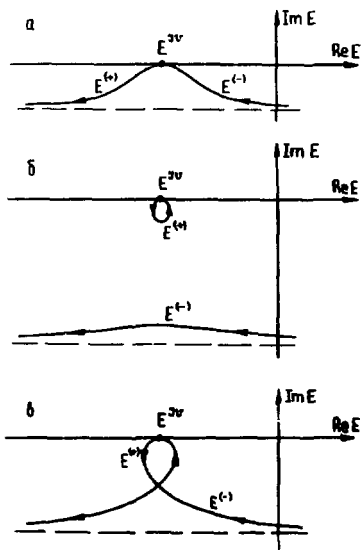


Рис. 4. "движение" корней уравнения (39) в комплексной плоскости  $E$  при изменении параметра  $\tilde{E}_R$  от  $+\infty$  до  $-\infty$  для различных значений  $\beta$ .

энергии  $E$  к области, где находился мезомолекулярный уровень  $E^{(m)}$ , и занимает его место при  $\tilde{E}_R \rightarrow -\infty$  (см. рис.4а). В свою очередь, решение  $E^{(+)}$ , отвечающее при  $\tilde{E}_R \rightarrow +\infty$  мезомолекулярному уровню, превращается в ядерный уровень при  $\tilde{E}_R \rightarrow -\infty$ . Этот случай, когда при сближении энергий уровней, отвечающих взаимодействиям с различным радиусом действия сил, уровни меняют свою природу (мезомолекулярный превращается в ядерный и наоборот) известен в литературе как явление перестройки спектра [1,16]. Перестройка спектра мезомолекулы  $d\tau\mu$  в отсутствие поглощения ( $\Gamma_{in} = 0$ ,  $\beta = \infty$ ) рассматривалась в работе [1]. Было показано, что вероятность попадания в область перестройки, где решения  $E^{(\pm)}$  существенно отличаются от  $E^{(m)}$  и  $E^{(z)}$ , крайне мала ввиду того, что  $d$  и  $t$  в мезомолекуле  $d\tau\mu$  с малой вероятностью находятся в области действия ядерных сил. Волновая функция мезомолекулярного состояния, локализованная на больших расстояниях, в процессе перестройки непрерывным образом переходит в волновую функцию ядерного состояния, локализованную на малых расстояниях. В области перестройки система со сравнимыми вероятностями пребывает как на малых, так и на больших расстояниях.

2. Если  $\beta < 1$ , то предельные значения решений имеют вид:

$$\begin{aligned} E^{(+)} &\rightarrow E^{(m)} & \tilde{E}_R &\rightarrow \pm \infty \\ E^{(-)} &\rightarrow E^{(z)} & \tilde{E}_R &\rightarrow \pm \infty \end{aligned}$$

Решение  $E^{(+)}$  при изменении  $\tilde{E}_R$  совершает финитное движение в комплексной плоскости энергии вблизи  $E^{(m)}$  (рис.4б), а решение  $E^{(-)}$  проходит вне области  $E = E^{(m)}$ . Таким образом, при любом  $\tilde{E}_R$  решение  $E^{(+)}$  отвечает мезомолекулярному уровню; соответствующая ему волновая функция относительного движения  $d$  и  $t$  локализована на характерных мезомолекулярных расстояниях. Отсутствие перестройки спектра в этом случае обусловлено наличием интенсивного поглощения (сильной связью с открытым каналом:  $\Gamma_{in}^2 > 8g|B^{(0)}|^2/m_1$ ).

для всех мезомолекулярных уровней  $d\tau\mu$   $\beta \ll 2,6 \cdot 10^{-7} \ll 1$  и, следовательно, каково бы ни было  $\tilde{E}_R$ , перестройка мезомолекулярного спектра исключена. Причины этого уже отмечались выше: малая вероятность нахождения  $d$  и  $t$  в области действия ядерных сил для мезомолекулярных состояний системы  $d\tau\mu$  и большая неупругая ширина ядерного резонанса  $\Gamma_{in}$ .

Полученный результат означает, что теоретические предсказания ядерных шири и сдвигов уровней мезомолекулы  $d\tau\mu$  являются "устойчивыми" несмотря на возможность варьирования параметров  $E_S$ ,  $g$  и  $\Gamma_{in}$  в пределах, допускаемых ошибками экспериментальных данных по реакции (2а) и рассеянию (2б).

3. Случай  $\beta = 1$  является промежуточным. При  $\tilde{E}_R = E^{(0)}$  имеется вырождение:  $E^{(+)} = E^{(-)}$  (рис.4в).

## § 6. Заключение

В данной работе вычислены ядерные ширины  $\Gamma^{(0)}$  и сдвиги  $\Delta E^{(0)}$  уровней  $(\nu)$  мезомолекулы  $d\tau\mu$ , обусловленные резонансным взаимодействием  $d$  и  $t$  в  $S$ - волне со спином  $I = 3/2$ . Установлено, что влияние ядерного резонанса на мезомолекулярные состояния является слабым, благодаря малой вероятности нахождения  $d$  и  $t$  в области действия ядерных сил в мезомолекуле  $d\tau\mu$  и большой неупругой ширине резонанса, и спектр  $d\tau\mu$  молекул устойчив относительно вариаций параметров ядерного взаимодействия в пределах, допускаемых имеющимися экспериментальными данными.

Показано, что положение ядерного резонанса в системе  $d\tau\mu$  совпадает с положением  $dt$  резонанса с точностью порядка средней энергии взаимодействия мюона в системе  $d\tau\mu$ . Поскольку мюон, связанный с  $d$  и  $t$  электромагнитными силами, с малой вероятностью находится в области ядерного взаимодействия  $d$  и  $t$ , мал и сдвиг ядерного резонанса, а перестройка спектра уровней мезомолекулы исключена. В этих условиях связь ядерных шири с константой реакции (4) с хорошей точностью описывается классической факторизационной формулой (3).

Полученные результаты также хорошо согласуются с расчетами ширины  $\Gamma^{30}$ , основанными на использовании обобщенного оптического потенциала  $/I/$ , отвечающего модели связанных каналов  $dt-n^4He$

Авторы выражают признательность С.И.Виницкому, Л.Н.Сомову и М.П.Файфману за помощь, а также С.С.Герштейну, Л.И.Пономареву, В.А.Сергееву и И.С.Шапиро за плодотворные дискуссии.

#### Л И Т Е Р А Т У Р А

1. Bogdanova L.N., Markushin V.E., Meleshik V.S., Ponomarev L.I. Preprint JINR E-4-80-819, 1980.
2. Liskien K., Paulsen A. Nucl. Data Tables, **11**, p.569, 1973.  
Кацауров Л.Н. Труды ФИАН, т.14, с.224, 1962.
3. Балашко Ю.Г. Труды ФИАН, т.33, с.67, 1965.
4. Deser S., Goldberger M.L., Baumann K., Thirring W. Phys. Rev., **96**, 774, 1954.
5. Jackson J.D. Phys. Rev., **106**, p.330, 1957.
6. Зельдович Я.Б., Герштейн С.С. УФН, **71**, 581, 1960.
7. Breit G. Theory of Resonance Reactions and Applied Topics, in Encyclopedia of Physics. Ed. by S.Flügge, Springer-Verlag, 1959, pp.231-240.
8. Wigner E.P., Eisenbud L. Phys. Rev., **72**, 29, 1947.
9. Aijzenberg-Selove F. Nucl. Phys., **A320**, N 1, p.1, 1979.
10. Ньютон Р. Теория рассеяния волн и частиц. М., Мир, с.456, 1969.
11. Conner J.P., Bonner T.W., J.R.Smith. Phys. Rev., **88**, 468, 1952.
12. Hoop B., Varschall H.H. Nucl. Phys., **83**, 65, 1966.
13. Виницкий С.И., Мележик В.С., Пономарев Л.И., Пузынин И.В., Пузынина Т.И., Сомов Л.Н., Трускова Н.Ф. ЖЭТФ, **79**, с.698, 1980.
14. Виницкий С.И., Мележик В.С., Пономарев Л.И. Препринт ОИЯИ P4-80-775, Дубна, 1979.
15. Ponomarev L.I. and Vinitzky S.I. J. Phys., **B12**, 567, 1979.
16. Кудрявцев А.Е., Маркушин В.Е., Шапиро И.С. ЭЖТФ, **74**, 432, 1978.

Рукопись поступила в издательский отдел  
15 апреля 1981 года.